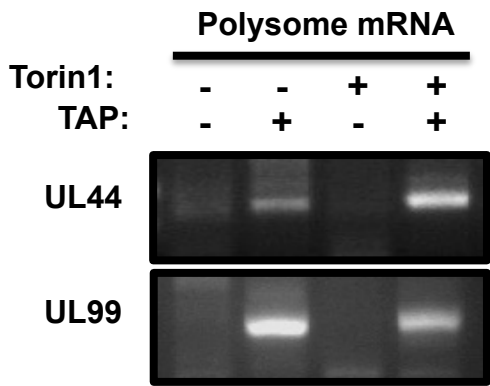


Figure S1. EDTA treatment alters the migration of HCMV mRNAs in a sucrose density gradient. Cytoplasmic lysates were harvested from HCMV infected cells at 96 hpi. EDTA (50 mM) was added to the lysates prior to resolution through a sucrose density gradient (open bars). The relative distribution of the IE1 and UL99 mRNAs throughout the gradient was determined by qRT-PCR as in figure 6A. The results are representative of two independent experiments. The data for the untreated samples is the same as that presented in figure 7A, and is included here for comparison. The results of a representative experiment are shown. B) Distribution of ribosomal RNAs (18S and 28S) across sucrose gradients in the presence and absence of EDTA. The results are representative of two independent experiments.

A.**B.**

Viral	ΔG (kcal/mol)
IE1	-43.1
UL44	-14
UL99	-76.1
Host	
HSP90	-21
RACK1	-44.9
RPS20	-43.2

Figure S2. HCMV polysome-associated mRNAs are capped and are predicted to have comparable secondary structure to host mRNAs. A) Total polysome associated RNA was isolated from untreated or Torin1-treated HCMV infected cells at 96 hpi. The RNA was treated with calf intestinal phosphatase followed by tobacco acid pyrophosphatase (TAP) as indicated. An RNA oligonucleotide was then ligated to the 5' end of the RNA and 5'RACE was performed using a gene specific primer and a primer specific the RNA oligo. PCR products were resolved on 2% agarose gels and visualized by ethidium bromide staining. B) The Gibbs free energy coefficient for 5' UTR sequences of the indicated host and viral mRNAs was calculated using the default settings of the mFOLD algorithm (<http://mfold.rna.albany.edu>).

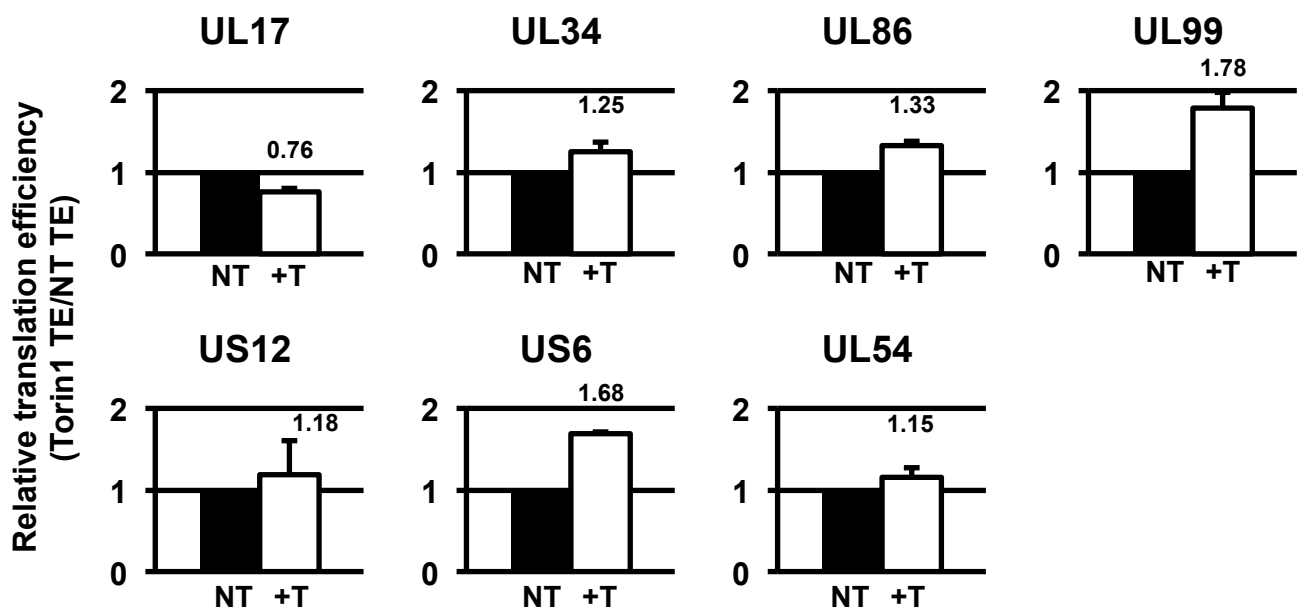


Figure S3. qRT-PCR confirmation of changes in translation efficiency for HCMV mRNAs in the presence of Torin1. The abundance of viral mRNAs in polysome and monosome containing fractions of the gradient was determined by qRT-PCR. The polysome to monosome ratio represents the translation efficiency of the mRNA, which was set to 1 in untreated samples (NT= untreated cells, +T = Torin1 treated). The data represent the mean of two experiments ($n = 2$) which were separate from those used in the microarray analysis.

Table S1. Host mRNAs inhibited by Torin1

Feature#	Gene	NT TE	NT TE STDEV	Torin1 TE	Torin1 STDEV	Ratio TE Torin1/ NT	log2 Fold Change	P-value
16267	ANKRD42	1.075	0.174	0.273	0.084	0.254	-1.975	0.002
28054	A_33_P3277323	0.639	0.167	0.163	0.039	0.255	-1.969	0.009
33731	RPS6	0.764	0.140	0.198	0.017	0.259	-1.950	0.002
8924	RPS6	0.762	0.145	0.198	0.018	0.260	-1.943	0.003
11195	A_33_P3233030	0.911	0.134	0.239	0.068	0.263	-1.929	0.001
25286	RPS6	0.772	0.156	0.204	0.024	0.265	-1.917	0.003
9558	RPS6	0.744	0.135	0.197	0.017	0.265	-1.916	0.002
36871	RPS6	0.766	0.116	0.205	0.032	0.267	-1.903	0.001
5283	RPS6	0.734	0.136	0.196	0.014	0.268	-1.901	0.002
27256	RPS6	0.766	0.151	0.209	0.030	0.272	-1.878	0.003
24200	RPL32	0.969	0.267	0.267	0.081	0.275	-1.863	0.012
43039	RPS6	0.729	0.132	0.201	0.028	0.276	-1.860	0.002
12713	RPS3A	0.633	0.076	0.178	0.015	0.281	-1.830	0.001
3738	A_33_P3359984	0.724	0.163	0.205	0.076	0.283	-1.820	0.007
27984	RPS3A	0.636	0.077	0.181	0.017	0.284	-1.817	0.001
31818	A_24_P76358	0.668	0.143	0.191	0.055	0.286	-1.807	0.006
19950	A_24_P24724	1.249	0.164	0.358	0.117	0.286	-1.804	0.002
14371	A_33_P3390873	0.838	0.168	0.242	0.024	0.289	-1.792	0.004
18438	RPL21	0.694	0.107	0.202	0.025	0.291	-1.781	0.001
16001	RPL12	0.512	0.128	0.150	0.021	0.293	-1.772	0.009
23448	RPL21	0.681	0.072	0.200	0.023	0.294	-1.768	0.000
19812	RPL21	0.726	0.064	0.215	0.027	0.295	-1.759	0.000
37847	RPS3A	0.578	0.060	0.171	0.030	0.296	-1.754	0.000
27273	A_24_P349387	0.461	0.098	0.137	0.021	0.298	-1.748	0.005
26811	RPL32P3	0.781	0.093	0.233	0.053	0.299	-1.743	0.001
37374	RPL26	0.523	0.043	0.157	0.037	0.301	-1.733	0.000
2205	RPL21	0.741	0.060	0.226	0.051	0.305	-1.714	0.000
22104	RPS3A	0.592	0.064	0.181	0.027	0.305	-1.713	0.000
33232	A_33_P3409553	0.513	0.093	0.158	0.032	0.307	-1.704	0.003
4271	RPL7	0.622	0.133	0.191	0.032	0.308	-1.700	0.005
20889	RPL21	0.581	0.089	0.179	0.039	0.308	-1.698	0.002
32482	RPL7	0.856	0.208	0.264	0.044	0.309	-1.696	0.008
5942	A_32_P113154	0.717	0.150	0.223	0.031	0.311	-1.687	0.005
16994	ENST0000039898 1	0.607	0.092	0.190	0.058	0.313	-1.676	0.003
24861	ENST0000042743 8	0.521	0.109	0.163	0.027	0.313	-1.676	0.005
1683	RPS3A	0.588	0.070	0.184	0.044	0.313	-1.674	0.001
40284	RPL26	0.518	0.119	0.163	0.028	0.315	-1.667	0.007
20234	RPL21P44	0.685	0.064	0.216	0.035	0.315	-1.667	0.000
20154	LOC648771	0.464	0.088	0.146	0.025	0.315	-1.666	0.004
21188	RPL21	0.648	0.053	0.204	0.026	0.315	-1.665	0.000
35428	A_24_P118591	0.734	0.029	0.232	0.041	0.316	-1.662	0.000
37661	RPL21	0.721	0.101	0.228	0.024	0.316	-1.660	0.001
19572	A_24_P349636	0.651	0.132	0.206	0.034	0.317	-1.658	0.005
43734	RPL21	0.649	0.122	0.207	0.038	0.318	-1.652	0.004
19281	A_24_P366165	0.469	0.143	0.150	0.026	0.320	-1.646	0.019
27752	RPS7	0.795	0.099	0.256	0.046	0.322	-1.634	0.001
39978	RPS15A	0.645	0.047	0.209	0.058	0.324	-1.625	0.001
1587	ENST0000042743 8	0.518	0.101	0.168	0.023	0.325	-1.620	0.004

Table S1. Host mRNAs inhibited by Torin1

9959	A_24_P24790	0.679	0.068	0.222	0.033	0.326	-1.616	0.000
4864	BE300169	0.792	0.054	0.260	0.044	0.328	-1.606	0.000
17464	RPL6	0.872	0.139	0.287	0.065	0.329	-1.605	0.003
8655	RPL10A	0.874	0.096	0.288	0.025	0.330	-1.600	0.001
24651	RPL34	0.818	0.072	0.270	0.028	0.330	-1.598	0.000
36671	RPL7	0.581	0.168	0.194	0.040	0.334	-1.583	0.018
20492	RPL34	0.849	0.097	0.284	0.031	0.334	-1.581	0.001
24661	ENST00000447432	0.797	0.079	0.269	0.051	0.338	-1.566	0.001
35148	A_24_P84808	0.632	0.169	0.214	0.042	0.338	-1.565	0.014
42136	A_24_P332471	0.540	0.167	0.183	0.033	0.339	-1.562	0.022
105	A_24_P316074	0.633	0.176	0.215	0.048	0.339	-1.560	0.016
21076	RPS15A	0.564	0.069	0.192	0.049	0.340	-1.557	0.002
10934	RPS7	0.773	0.068	0.263	0.048	0.340	-1.556	0.000
44934	LOC643563	0.937	0.172	0.319	0.068	0.340	-1.556	0.004
4682	EEF1A1	0.863	0.162	0.295	0.090	0.342	-1.549	0.006
35976	CR593048	0.506	0.113	0.174	0.036	0.343	-1.542	0.008
3620	RPS13	0.642	0.097	0.221	0.019	0.344	-1.539	0.002
39281	RPS24	0.703	0.078	0.242	0.034	0.344	-1.538	0.001
26021	RPLP2	0.702	0.124	0.242	0.022	0.345	-1.536	0.003
39893	RPL7A	0.875	0.090	0.302	0.027	0.345	-1.536	0.000
4702	RPL14	1.081	0.114	0.373	0.052	0.345	-1.534	0.001
17049	RPS7P5	0.791	0.107	0.276	0.075	0.349	-1.520	0.002
16217	EEF1A1	0.946	0.173	0.331	0.083	0.350	-1.515	0.005
43952	A_24_P272548	0.870	0.132	0.304	0.080	0.350	-1.514	0.003
16585	A_32_P125549	0.542	0.043	0.191	0.026	0.353	-1.503	0.000
7383	RPS20	0.475	0.083	0.167	0.032	0.353	-1.503	0.004
11866	RPL10A	0.902	0.141	0.319	0.022	0.353	-1.501	0.002
39896	ENST00000452253	0.595	0.053	0.211	0.065	0.355	-1.496	0.001
10476	A_33_P3317431	0.584	0.160	0.207	0.051	0.355	-1.496	0.018
29254	RPL21	0.588	0.042	0.209	0.049	0.355	-1.492	0.001
2289	TPT1	0.338	0.053	0.120	0.015	0.356	-1.491	0.002
2004	RPS15A	0.560	0.066	0.199	0.062	0.356	-1.490	0.002
11391	RPS19	0.420	0.070	0.150	0.011	0.357	-1.485	0.003
43661	A_33_P3384997	0.498	0.108	0.178	0.041	0.358	-1.483	0.009
8213	RPL24	1.164	0.102	0.417	0.049	0.358	-1.483	0.000
35974	RPL35A	0.892	0.211	0.321	0.067	0.360	-1.475	0.011
37526	RPS15A	0.581	0.040	0.209	0.074	0.360	-1.474	0.002
12835	AF147412	0.589	0.025	0.212	0.067	0.360	-1.472	0.001
10165	RPS23	0.562	0.038	0.203	0.025	0.361	-1.468	0.000
31195	RPL5	0.865	0.164	0.313	0.060	0.362	-1.466	0.005
25658	A_24_P42014	0.845	0.064	0.306	0.036	0.362	-1.465	0.000
32011	RPL31	0.575	0.112	0.208	0.029	0.362	-1.465	0.005
21993	RPS8	0.871	0.146	0.316	0.043	0.363	-1.462	0.003
9326	EEF1A1	0.699	0.242	0.255	0.051	0.364	-1.457	0.036
4899	RPL5	0.873	0.117	0.318	0.047	0.365	-1.456	0.002
41344	RPL13AP3	0.735	0.162	0.270	0.033	0.367	-1.447	0.008
44061	A_24_P606663	0.656	0.102	0.241	0.081	0.367	-1.445	0.005
45026	RPL23	0.811	0.179	0.299	0.019	0.368	-1.441	0.008
7552	RPL31	0.555	0.106	0.205	0.029	0.369	-1.440	0.005
3084	A_24_P375683	0.876	0.129	0.324	0.047	0.370	-1.434	0.002
7980	RPL13A	0.766	0.150	0.285	0.018	0.372	-1.426	0.005
18495	RPL19	0.992	0.157	0.370	0.064	0.373	-1.423	0.003

Table S1. Host mRNAs inhibited by Torin1

34884	RPL24	1.102	0.085	0.412	0.081	0.374	-1.420	0.001
18982	TPT1	0.359	0.041	0.134	0.024	0.374	-1.418	0.001
3829	CR590938	1.115	0.213	0.419	0.093	0.375	-1.413	0.007
13815	A_33_P3263277	0.988	0.208	0.374	0.056	0.379	-1.401	0.008
38558	RPL13A	0.700	0.075	0.266	0.040	0.380	-1.397	0.001
44324	A_24_P152983	0.798	0.237	0.304	0.040	0.381	-1.394	0.023
30655	RPS10	0.916	0.211	0.349	0.057	0.381	-1.393	0.011
39849	RPS18	0.471	0.065	0.179	0.046	0.381	-1.393	0.003
43675	A_33_P3362812	0.611	0.049	0.233	0.077	0.381	-1.392	0.002
9449	RPL28	0.687	0.102	0.263	0.007	0.383	-1.385	0.002
37543	RPS17	0.771	0.076	0.296	0.033	0.384	-1.382	0.001
18998	RPL17	0.698	0.231	0.270	0.055	0.387	-1.370	0.036
31275	RPS18	0.489	0.077	0.189	0.016	0.387	-1.369	0.003
29722	RPS19	0.443	0.067	0.171	0.011	0.387	-1.368	0.002
24902	RPL9	0.671	0.106	0.260	0.048	0.388	-1.367	0.004
17347	RPS14	0.514	0.041	0.200	0.019	0.388	-1.364	0.000
3232	A_24_P315184	0.510	0.139	0.199	0.027	0.389	-1.362	0.019
31082	A_32_P18493	1.203	0.060	0.469	0.071	0.390	-1.358	0.000
20022	A_24_P350008	0.745	0.099	0.291	0.029	0.391	-1.354	0.002
3709	RPL13A	0.725	0.104	0.284	0.024	0.392	-1.349	0.002
22071	A_24_P135501	0.727	0.034	0.285	0.044	0.392	-1.349	0.000
7195	RPS10	0.779	0.006	0.306	0.096	0.393	-1.349	0.001
29508	A_24_P194962	0.792	0.024	0.314	0.060	0.396	-1.335	0.000
32740	A_24_P50554	0.660	0.165	0.262	0.055	0.398	-1.330	0.017
23016	C20orf141	1.528	0.198	0.609	0.180	0.398	-1.328	0.004
13727	A_24_P383330	0.653	0.028	0.261	0.056	0.400	-1.324	0.000
3972	A_24_P161355	0.789	0.022	0.316	0.078	0.400	-1.321	0.001
29257	A_33_P3297277	0.801	0.086	0.322	0.065	0.402	-1.315	0.002
32808	RPL39	0.262	0.052	0.106	0.011	0.402	-1.313	0.007
6636	A_33_P3389540	0.995	0.110	0.401	0.076	0.403	-1.312	0.002
4726	A_33_P3234377	1.340	0.164	0.540	0.123	0.403	-1.310	0.003
23200	A_33_P3255782	0.696	0.040	0.281	0.091	0.403	-1.309	0.002
34178	A_23_P258108	0.739	0.065	0.298	0.055	0.404	-1.309	0.001
10649	A_33_P3270966	1.418	0.296	0.573	0.107	0.404	-1.307	0.010
30225	EEF1B2	0.661	0.078	0.267	0.029	0.404	-1.306	0.001
7304	RPS10P7	0.937	0.224	0.380	0.091	0.405	-1.303	0.016
2746	A_33_P3257944	0.684	0.079	0.277	0.054	0.406	-1.302	0.002
25778	RPL6	1.001	0.132	0.408	0.081	0.407	-1.297	0.003
13315	A_24_P58881	0.777	0.137	0.317	0.039	0.407	-1.295	0.005
25214	RPL5	0.722	0.084	0.296	0.072	0.410	-1.288	0.003
17713	A_24_P178654	0.732	0.091	0.300	0.076	0.410	-1.286	0.003
6400	EEF1A1	0.518	0.173	0.213	0.052	0.410	-1.286	0.043
21410	A_24_P375599	0.724	0.093	0.298	0.054	0.411	-1.282	0.002
39004	A_33_P3375668	0.886	0.170	0.366	0.060	0.413	-1.277	0.007
27991	RPS10	0.678	0.020	0.280	0.082	0.413	-1.276	0.001
2546	TUBB2B	1.662	0.189	0.689	0.057	0.415	-1.270	0.001
17559	A_33_P3353259	0.950	0.082	0.394	0.096	0.415	-1.270	0.002
41738	EEF1A1	0.503	0.154	0.209	0.063	0.415	-1.269	0.038
8836	RPL23	0.820	0.054	0.341	0.028	0.415	-1.267	0.000
10568	RPS10	0.715	0.028	0.299	0.082	0.418	-1.258	0.001
22705	RPL17	0.595	0.047	0.249	0.049	0.418	-1.257	0.001
36473	RPL10	1.014	0.105	0.427	0.052	0.421	-1.248	0.001
44423	RPL27	0.714	0.103	0.302	0.068	0.422	-1.243	0.004

Table S1. Host mRNAs inhibited by Torin1

36847	ENST0000035965 9	0.701	0.011	0.296	0.066	0.423	-1.242	0.000
5898	RPS11	0.565	0.046	0.240	0.014	0.425	-1.235	0.000
23883	A_24_P315921	1.246	0.049	0.531	0.211	0.426	-1.232	0.005
2451	RPL13	0.617	0.094	0.263	0.038	0.427	-1.229	0.004
22380	RPL19P12	0.828	0.064	0.355	0.078	0.429	-1.221	0.001
6801	A_24_P126691	0.630	0.125	0.271	0.056	0.430	-1.218	0.011
4129	ENST0000030100 8	1.309	0.195	0.563	0.123	0.430	-1.218	0.005
17378	RPL10	0.807	0.019	0.347	0.111	0.430	-1.217	0.002
19104	A_24_P246692	0.911	0.115	0.392	0.057	0.430	-1.216	0.002
17014	A_24_P186944	0.620	0.032	0.267	0.070	0.430	-1.216	0.001
22846	A_24_P547010	0.853	0.135	0.367	0.054	0.431	-1.216	0.004
1075	RPL23P8	0.879	0.106	0.380	0.054	0.432	-1.210	0.002
29664	RPL22	0.901	0.096	0.390	0.089	0.433	-1.209	0.002
30698	RPL37	0.421	0.052	0.183	0.033	0.434	-1.206	0.003
16408	RPS27A	0.803	0.115	0.348	0.053	0.434	-1.205	0.003
661	A_33_P3246995	0.599	0.094	0.260	0.068	0.434	-1.203	0.007
38552	A_33_P3351529	0.652	0.071	0.284	0.034	0.436	-1.196	0.001
6600	EEF1D	1.054	0.237	0.462	0.019	0.438	-1.191	0.012
7422	RPL10	0.790	0.028	0.347	0.089	0.439	-1.189	0.001
12521	LOC644961	1.376	0.086	0.606	0.085	0.440	-1.183	0.000
12514	EIF3H	0.836	0.105	0.369	0.096	0.441	-1.182	0.005
26043	RPL10L	0.833	0.013	0.368	0.127	0.442	-1.179	0.003
34183	A_33_P3210702	0.882	0.095	0.390	0.095	0.442	-1.178	0.003
9095	ACTG1	1.090	0.108	0.482	0.059	0.442	-1.178	0.001
10879	A_33_P3315027	0.418	0.113	0.185	0.024	0.443	-1.175	0.025
5198	A_24_P878388	0.828	0.111	0.367	0.069	0.444	-1.173	0.004
39585	SLC25A5	1.094	0.025	0.485	0.105	0.444	-1.173	0.001
39389	RPL36A	0.652	0.065	0.289	0.023	0.444	-1.171	0.001
4286	A_24_P33552	0.431	0.107	0.192	0.040	0.446	-1.165	0.022
25216	RPL3	0.837	0.111	0.374	0.036	0.447	-1.163	0.002
6752	RPS4X	1.054	0.058	0.472	0.022	0.448	-1.160	0.000
10713	A_33_P3309684	0.740	0.145	0.333	0.086	0.449	-1.154	0.014
7331	RPS5	0.768	0.167	0.345	0.048	0.450	-1.154	0.014
11407	EEF1DP3	0.899	0.258	0.406	0.072	0.452	-1.145	0.034
14880	RPL23A	0.414	0.127	0.187	0.026	0.453	-1.143	0.039
3443	RPL17	0.712	0.128	0.322	0.067	0.453	-1.143	0.010
19249	RPL23A	0.405	0.127	0.183	0.025	0.453	-1.142	0.041
38156	A_33_P3354479	0.423	0.110	0.192	0.038	0.454	-1.141	0.026
33151	RPL22L1	0.535	0.059	0.243	0.051	0.455	-1.137	0.003
9090	A_24_P203726	0.808	0.056	0.368	0.020	0.456	-1.133	0.000
29633	RPL39	0.253	0.057	0.116	0.015	0.459	-1.124	0.016
39706	A_33_P3412125	0.706	0.102	0.325	0.023	0.460	-1.120	0.003
38732	UBA52	0.975	0.149	0.449	0.079	0.461	-1.117	0.006
4840	AK124741	0.239	0.036	0.110	0.020	0.462	-1.116	0.006
410	A_33_P3279456	0.297	0.051	0.137	0.018	0.462	-1.113	0.007
34109	A_24_P84048	0.744	0.146	0.345	0.119	0.463	-1.110	0.021
10608	A_24_P144163	1.138	0.138	0.528	0.129	0.464	-1.109	0.005
28394	GNB2L1	0.785	0.065	0.365	0.094	0.465	-1.104	0.003
3037	RPS9	0.949	0.084	0.443	0.066	0.466	-1.100	0.001
17641	RPS16	0.750	0.100	0.350	0.040	0.467	-1.100	0.003
17944	RPS4P16	1.142	0.090	0.534	0.075	0.467	-1.098	0.001
7230	A_33_P3376071	0.421	0.109	0.197	0.031	0.468	-1.096	0.027

Table S1. Host mRNAs inhibited by Torin1

39258	RPS14	0.591	0.078	0.278	0.077	0.470	-1.089	0.008
2813	A_24_P187023	0.888	0.052	0.419	0.097	0.472	-1.084	0.002
17352	RPL35	0.798	0.078	0.377	0.036	0.472	-1.083	0.001
185	RPL15	0.770	0.111	0.364	0.075	0.473	-1.080	0.006
24406	RPL18A	0.663	0.036	0.314	0.014	0.474	-1.078	0.000
7375	RPL23A	0.412	0.101	0.196	0.042	0.474	-1.077	0.027
27179	A_24_P50157	0.245	0.026	0.116	0.013	0.474	-1.076	0.002
21861	RPS3	0.640	0.085	0.304	0.103	0.475	-1.075	0.012
25329	RGS10	0.969	0.135	0.462	0.127	0.477	-1.068	0.009
24993	ENST0000033459 1	1.114	0.078	0.531	0.095	0.477	-1.068	0.001
10399	A_24_P306964	0.587	0.109	0.281	0.078	0.478	-1.063	0.017
12115	RPL3	0.800	0.037	0.383	0.028	0.479	-1.061	0.000
20081	RPLP0	0.451	0.061	0.217	0.012	0.480	-1.059	0.003
18065	ENST0000042765 1	0.851	0.086	0.409	0.086	0.480	-1.058	0.003
3018	A_24_P401100	0.848	0.146	0.408	0.073	0.481	-1.055	0.009
2116	RPS28	0.492	0.072	0.238	0.031	0.483	-1.050	0.005
34504	HNRNPA1L2	1.535	0.190	0.744	0.026	0.484	-1.045	0.002
33566	RPS4Y1	1.142	0.088	0.557	0.198	0.488	-1.036	0.009
36703	RPS9	1.121	0.110	0.547	0.066	0.488	-1.036	0.002
30600	YBX1	1.114	0.108	0.544	0.054	0.488	-1.035	0.001
40828	NP1207855	0.479	0.046	0.235	0.016	0.490	-1.029	0.001
22684	BTF3L1	1.090	0.219	0.535	0.126	0.491	-1.027	0.019
20498	RPL8	1.218	0.187	0.598	0.133	0.491	-1.026	0.009
2462	BTF3L1	1.070	0.193	0.526	0.127	0.491	-1.026	0.015
27612	BTF3L1	1.068	0.225	0.525	0.119	0.492	-1.023	0.021
267	RP3-377H14.5	0.451	0.069	0.222	0.066	0.492	-1.023	0.014
35493	BTF3L1	1.089	0.237	0.537	0.134	0.493	-1.020	0.025
14835	RPS25	0.504	0.136	0.249	0.053	0.493	-1.020	0.039
28647	A_24_P417606	0.920	0.062	0.454	0.077	0.493	-1.020	0.001
14551	KIAA0101	0.767	0.158	0.378	0.115	0.493	-1.020	0.026
3057	RPL11	0.790	0.117	0.390	0.015	0.494	-1.018	0.004
27320	RPL13	0.900	0.132	0.446	0.026	0.495	-1.014	0.004
7166	ENST0000039433 3	0.848	0.084	0.421	0.095	0.496	-1.013	0.004
11921	NSA2	1.576	0.232	0.782	0.118	0.496	-1.011	0.006
36424	BTF3L1	1.075	0.204	0.534	0.145	0.496	-1.010	0.020
10254	RPL35	0.827	0.022	0.411	0.060	0.497	-1.010	0.000
5805	KIAA0101	0.761	0.127	0.378	0.114	0.497	-1.008	0.018
19599	AI418341	0.219	0.021	0.109	0.020	0.499	-1.004	0.003
14490	A_33_P3345501	1.210	0.280	0.605	0.167	0.500	-1.001	0.032
1511	KIAA0101	0.784	0.156	0.393	0.117	0.501	-0.997	0.026
9676	BTF3L1	1.065	0.198	0.534	0.142	0.501	-0.996	0.019
38154	RPLP0	0.442	0.044	0.221	0.025	0.501	-0.996	0.002
7515	A_24_P256037	0.838	0.021	0.420	0.076	0.502	-0.994	0.001
4412	A_33_P3231242	1.130	0.188	0.568	0.167	0.502	-0.993	0.018
21910	SLC25A6	1.023	0.140	0.514	0.020	0.503	-0.992	0.003
33954	RPLP0P3	0.492	0.092	0.248	0.041	0.503	-0.992	0.014
30116	HNRNPA1	1.217	0.168	0.612	0.154	0.503	-0.992	0.010
36961	RPLP0	0.445	0.045	0.224	0.026	0.503	-0.990	0.002
36196	RPLP0	0.443	0.044	0.223	0.026	0.503	-0.990	0.002
4591	ENST0000041148 8	0.226	0.023	0.114	0.016	0.504	-0.990	0.002

Table S1. Host mRNAs inhibited by Torin1

5157	A_33_P3329991	0.691	0.133	0.349	0.049	0.505	-0.986	0.014
25681	TUBB3	1.542	0.107	0.779	0.019	0.505	-0.985	0.000
4227	RPLP0	0.437	0.038	0.221	0.013	0.506	-0.984	0.001
36398	RPS26	0.691	0.084	0.351	0.069	0.507	-0.980	0.006
8912	RPLP0	0.433	0.052	0.220	0.014	0.508	-0.977	0.002
6701	KIAA0101	0.756	0.148	0.384	0.108	0.509	-0.975	0.025
22494	KIAA0101	0.759	0.126	0.387	0.097	0.509	-0.974	0.016
14997	A_33_P3371769	0.300	0.076	0.153	0.024	0.510	-0.972	0.033
38811	RPL39	0.250	0.031	0.128	0.029	0.511	-0.970	0.007
5352	NAP1L1	1.200	0.202	0.613	0.066	0.511	-0.969	0.009
4371	KIAA0101	0.768	0.154	0.393	0.111	0.511	-0.967	0.027
2415	RPS28	0.506	0.058	0.259	0.031	0.511	-0.967	0.003
13251	BTF3L1	1.090	0.209	0.558	0.144	0.512	-0.965	0.022
26646	POTEF	1.233	0.127	0.634	0.162	0.514	-0.960	0.007
30268	BTF3L1	1.041	0.172	0.536	0.144	0.515	-0.958	0.017
2782	KIAA0101	0.739	0.124	0.382	0.107	0.517	-0.953	0.020
32675	RPS4Y2	1.113	0.116	0.578	0.195	0.519	-0.946	0.015
3777	HNRNPA1L2	1.416	0.196	0.736	0.039	0.520	-0.945	0.004
14340	A_32_P49350	0.850	0.151	0.442	0.057	0.520	-0.944	0.012
1902	RPLP0	0.432	0.041	0.225	0.013	0.520	-0.944	0.001
10776	AHCY	0.926	0.086	0.484	0.047	0.522	-0.938	0.001
36241	YBX1	1.437	0.104	0.752	0.070	0.523	-0.935	0.001
15097	EIF3F	0.871	0.070	0.456	0.042	0.524	-0.933	0.001
18073	PCBP2	1.384	0.092	0.725	0.113	0.524	-0.932	0.001
40885	RPLP0	0.435	0.054	0.228	0.011	0.524	-0.932	0.003
40144	HNRNPA1L2	1.495	0.219	0.785	0.022	0.525	-0.929	0.005
27560	IGBP1	1.066	0.056	0.561	0.177	0.527	-0.925	0.009
27066	A_24_P603890	0.900	0.083	0.475	0.066	0.527	-0.924	0.002
40798	RPLP0	0.429	0.049	0.226	0.016	0.528	-0.922	0.002
20239	KIAA0101	0.731	0.106	0.386	0.110	0.528	-0.921	0.017
27822	EIF1	0.821	0.088	0.435	0.196	0.530	-0.917	0.036
30850	RPS29	0.229	0.054	0.121	0.017	0.531	-0.913	0.031
12489	BTF3	1.178	0.020	0.626	0.077	0.531	-0.913	0.000
15480	A_24_P928604	0.683	0.010	0.364	0.012	0.532	-0.909	0.000
149	RAB13	1.307	0.069	0.696	0.182	0.533	-0.909	0.006
3257	RPL37A	0.403	0.049	0.215	0.024	0.534	-0.906	0.004
24424	IGBP1	1.237	0.068	0.661	0.147	0.534	-0.904	0.004
10416	RPL30	0.421	0.049	0.225	0.047	0.535	-0.904	0.007
28372	RPL30	0.428	0.073	0.230	0.043	0.536	-0.899	0.015
8368	NPM1	1.385	0.140	0.744	0.178	0.538	-0.895	0.008
5373	UQCRCB	1.076	0.091	0.579	0.112	0.538	-0.895	0.004
35526	A_33_P3357669	0.757	0.033	0.408	0.026	0.539	-0.892	0.000
34947	RPL30	0.441	0.088	0.238	0.045	0.539	-0.891	0.024
20468	LY96	1.110	0.107	0.599	0.230	0.539	-0.891	0.025
4821	NSA2	0.969	0.229	0.523	0.104	0.539	-0.890	0.037
35884	NME2	1.306	0.057	0.705	0.221	0.540	-0.889	0.010
15595	RPS12	0.269	0.033	0.146	0.020	0.543	-0.882	0.005
36363	RPL30	0.445	0.061	0.242	0.050	0.543	-0.881	0.011
3188	RPL30	0.431	0.080	0.234	0.043	0.544	-0.879	0.020
42365	EEF1G	0.754	0.111	0.410	0.072	0.544	-0.878	0.011
20777	A_24_P135391	1.264	0.300	0.688	0.044	0.544	-0.878	0.030
39423	RPL30	0.434	0.063	0.236	0.059	0.545	-0.876	0.016
36912	LOC646821	1.356	0.079	0.740	0.062	0.546	-0.874	0.000

Table S1. Host mRNAs inhibited by Torin1

34205	ENST0000027341 1	0.255	0.045	0.139	0.028	0.547	-0.871	0.020
11619	IGBP1	1.212	0.100	0.664	0.093	0.548	-0.869	0.002
17170	RPL30	0.427	0.056	0.234	0.044	0.548	-0.867	0.009
26594	TCTN1	1.187	0.063	0.651	0.250	0.548	-0.867	0.023
10758	RPL37A	0.409	0.051	0.224	0.017	0.549	-0.866	0.004
27071	RPL30	0.427	0.060	0.238	0.044	0.556	-0.846	0.012
22659	PCBP2	0.933	0.101	0.521	0.122	0.558	-0.841	0.011
29933	RPSA	0.628	0.149	0.351	0.070	0.559	-0.840	0.043
18326	A_24_P195724	1.551	0.360	0.867	0.172	0.559	-0.839	0.041
23942	ENST0000037056 2	0.321	0.063	0.180	0.025	0.562	-0.830	0.023
18119	RPLP1	0.249	0.060	0.140	0.005	0.563	-0.829	0.035
29776	HNRNPA3	0.352	0.091	0.199	0.023	0.565	-0.825	0.047
27027	RPL18	0.798	0.073	0.451	0.146	0.565	-0.823	0.021
23024	A_33_P3241043	1.562	0.252	0.883	0.173	0.566	-0.822	0.018
20992	ZNF525	0.298	0.060	0.169	0.030	0.566	-0.822	0.029
40133	ST13	1.283	0.140	0.727	0.110	0.566	-0.820	0.006
5891	MRPL45	0.828	0.049	0.471	0.131	0.569	-0.814	0.012
15142	A_33_P3771039	0.815	0.026	0.463	0.185	0.569	-0.814	0.031
25235	SLC25A6	0.595	0.035	0.341	0.054	0.574	-0.802	0.002
42304	CCK	1.480	0.164	0.849	0.251	0.574	-0.802	0.022
4212	PFDN4	0.827	0.064	0.476	0.181	0.576	-0.797	0.034
22339	HNRNPA1L2	1.123	0.114	0.647	0.073	0.576	-0.796	0.004
24729	PABPC1	0.482	0.029	0.278	0.070	0.576	-0.795	0.010
34470	ENST0000031719 7	0.428	0.052	0.248	0.012	0.580	-0.786	0.004
18258	PRDX6	1.788	0.106	1.039	0.219	0.581	-0.783	0.006
20313	A_33_P3234641	0.236	0.032	0.137	0.012	0.582	-0.781	0.007
28473	ST13	1.142	0.218	0.665	0.039	0.582	-0.780	0.020
39349	RPS29	0.228	0.028	0.133	0.017	0.583	-0.778	0.008
40119	RPS21	0.286	0.026	0.167	0.021	0.584	-0.777	0.003
27981	PTPN2	1.410	0.075	0.828	0.128	0.587	-0.769	0.002
24808	RPS29	0.223	0.038	0.132	0.005	0.589	-0.763	0.015
38664	RPL28	1.096	0.059	0.647	0.068	0.590	-0.760	0.001
10998	LOC390282	1.072	0.052	0.634	0.066	0.592	-0.757	0.001
32230	GAPDH	1.342	0.140	0.795	0.083	0.593	-0.755	0.004
3605	ATP5G2	1.226	0.076	0.727	0.090	0.593	-0.754	0.002
4970	GAPDH	1.328	0.091	0.787	0.075	0.593	-0.754	0.001
36986	RABGGTB	0.817	0.161	0.485	0.058	0.594	-0.752	0.029
28337	RPSAP52	0.612	0.073	0.364	0.072	0.594	-0.750	0.014
20633	MTHFD2	1.284	0.159	0.768	0.037	0.598	-0.742	0.005
16546	NPM1	1.342	0.065	0.803	0.100	0.598	-0.741	0.001
10136	RPUSD4	1.277	0.169	0.764	0.095	0.598	-0.741	0.010
19308	OBFC2A	0.981	0.083	0.587	0.072	0.599	-0.740	0.003
17465	NOB1	1.400	0.117	0.839	0.134	0.599	-0.739	0.005
37375	CSNK2A2	1.285	0.148	0.772	0.102	0.601	-0.735	0.008
8898	A_33_P3262890	0.560	0.055	0.337	0.065	0.602	-0.733	0.010
30296	BM701600	0.451	0.055	0.272	0.057	0.603	-0.730	0.017
19752	MTHFD2	1.317	0.223	0.796	0.034	0.604	-0.727	0.016
561	RPL36	0.525	0.056	0.317	0.052	0.604	-0.726	0.009
43018	GAPDH	1.281	0.114	0.775	0.091	0.605	-0.725	0.004
20087	GAPDH	1.333	0.076	0.807	0.061	0.605	-0.724	0.001
6189	GAPDH	1.327	0.081	0.804	0.071	0.606	-0.723	0.001

Table S1. Host mRNAs inhibited by Torin1

27211	GAPDH	1.316	0.084	0.797	0.081	0.606	-0.723	0.002
34331	BC070327	0.493	0.026	0.299	0.070	0.607	-0.721	0.011
21150	UBXN8	0.978	0.010	0.594	0.056	0.607	-0.720	0.000
25885	GAPDH	1.349	0.097	0.820	0.066	0.608	-0.719	0.001
28714	A_33_P3246244	0.527	0.051	0.322	0.088	0.610	-0.712	0.025
30857	SNRPE	1.235	0.085	0.755	0.178	0.611	-0.711	0.013
6520	RPSA	0.564	0.057	0.345	0.070	0.612	-0.709	0.014
14879	GAPDH	1.334	0.096	0.818	0.063	0.613	-0.706	0.001
36886	NOB1	1.306	0.156	0.801	0.147	0.613	-0.705	0.015
19663	EIF3M	1.446	0.144	0.888	0.124	0.614	-0.704	0.007
33035	ENST00000269290	0.951	0.049	0.584	0.075	0.615	-0.702	0.002
4014	MTHFD2	1.295	0.157	0.797	0.021	0.615	-0.700	0.006
29111	NP100974	0.463	0.054	0.285	0.073	0.616	-0.699	0.027
13490	RPL22	0.750	0.130	0.463	0.079	0.616	-0.698	0.030
28457	AMD1	1.348	0.021	0.834	0.129	0.618	-0.694	0.002
20988	RBMX	1.391	0.272	0.861	0.126	0.619	-0.692	0.037
15672	SSR4	1.418	0.070	0.878	0.259	0.619	-0.692	0.025
42731	NOB1	1.269	0.140	0.787	0.149	0.620	-0.689	0.015
7784	CDCA7	0.771	0.116	0.479	0.052	0.621	-0.687	0.016
20302	TOM1L1	1.004	0.196	0.624	0.030	0.621	-0.687	0.029
10771	A_33_P3238461	0.280	0.062	0.174	0.011	0.622	-0.685	0.044
1943	A_33_P3230073	0.984	0.149	0.613	0.098	0.623	-0.683	0.023
101	MTHFD2	1.346	0.162	0.839	0.050	0.623	-0.682	0.007
7864	NOB1	1.297	0.119	0.810	0.150	0.625	-0.679	0.012
19327	ZNF239	0.929	0.107	0.581	0.022	0.625	-0.678	0.005
20807	LETMD1	0.920	0.067	0.577	0.090	0.627	-0.674	0.006
19609	TAF1D	0.547	0.029	0.343	0.019	0.627	-0.673	0.001
6843	MTA1	0.857	0.150	0.539	0.043	0.629	-0.668	0.024
8236	SFRS3	1.742	0.188	1.097	0.117	0.630	-0.666	0.007
22385	RPS15	0.728	0.068	0.459	0.105	0.630	-0.666	0.020
13432	CNIH	1.170	0.044	0.738	0.066	0.631	-0.665	0.001
8831	TLN2	0.914	0.066	0.580	0.087	0.634	-0.658	0.006
1084	NOB1	1.367	0.073	0.866	0.132	0.634	-0.658	0.005
38522	LOC730107	1.291	0.068	0.820	0.211	0.635	-0.654	0.021
44918	PFDN5	1.180	0.110	0.750	0.146	0.636	-0.654	0.015
32534	NOB1	1.323	0.139	0.841	0.145	0.636	-0.653	0.014
15046	LETMD1	0.929	0.090	0.591	0.099	0.636	-0.652	0.012
17937	MTHFD2	1.270	0.144	0.808	0.042	0.636	-0.652	0.006
19945	MTHFD2	1.297	0.186	0.827	0.091	0.638	-0.648	0.017
10153	SERPINB1	1.377	0.108	0.879	0.038	0.639	-0.647	0.002
15712	VEZT	1.144	0.086	0.731	0.086	0.639	-0.646	0.004
32527	A_33_P3368636	1.349	0.117	0.862	0.112	0.639	-0.646	0.006
27653	MRPL32	1.261	0.168	0.806	0.085	0.639	-0.645	0.014
36434	LETMD1	0.914	0.023	0.585	0.103	0.640	-0.644	0.006
7250	NPM1	1.201	0.228	0.769	0.128	0.641	-0.643	0.046
22143	MRRF	0.783	0.040	0.502	0.164	0.641	-0.642	0.045
6903	LETMD1	0.899	0.097	0.576	0.113	0.641	-0.641	0.020
11904	LETMD1	0.904	0.064	0.581	0.112	0.642	-0.639	0.012
8366	UBXN8	0.904	0.166	0.581	0.113	0.643	-0.638	0.049
37210	TPRKB	1.003	0.079	0.647	0.183	0.645	-0.633	0.036
16788	CLEC2D	1.439	0.079	0.929	0.120	0.646	-0.631	0.004
11927	NOB1	1.313	0.118	0.848	0.133	0.646	-0.631	0.011
26526	LETMD1	0.913	0.081	0.590	0.102	0.646	-0.630	0.013

Table S1. Host mRNAs inhibited by Torin1

5331	A_33_P3351615	0.291	0.050	0.189	0.018	0.647	-0.628	0.028
20427	C20orf199	0.207	0.028	0.134	0.014	0.647	-0.627	0.016
5555	MTHFD2	1.237	0.140	0.802	0.009	0.648	-0.626	0.006
22039	DYM	1.488	0.133	0.966	0.113	0.649	-0.623	0.007
25578	A_33_P3325009	0.232	0.034	0.151	0.012	0.650	-0.622	0.017
32475	POTEK	1.440	0.060	0.936	0.133	0.650	-0.621	0.004
26033	DPT	1.750	0.318	1.139	0.100	0.651	-0.619	0.034
37564	EIF4B	0.827	0.093	0.541	0.033	0.654	-0.613	0.007
10808	A_24_P340976	0.576	0.062	0.377	0.080	0.655	-0.611	0.027
2050	RPSA	0.586	0.043	0.384	0.071	0.655	-0.610	0.014
42704	SNRPE	1.151	0.111	0.755	0.093	0.656	-0.608	0.009
4673	CCDC34	1.283	0.140	0.842	0.138	0.656	-0.608	0.018
39847	RABGGTB	0.852	0.060	0.560	0.046	0.657	-0.606	0.003
37654	C17orf48	0.946	0.121	0.622	0.155	0.658	-0.604	0.046
36775	MRPL45	1.375	0.086	0.905	0.105	0.658	-0.604	0.004
1306	NOB1	1.311	0.102	0.864	0.114	0.659	-0.601	0.007
14748	A_33_P3381429	0.452	0.057	0.298	0.038	0.660	-0.600	0.018
34082	TOM1L1	0.978	0.063	0.647	0.035	0.662	-0.595	0.001
39340	MRPL45	1.354	0.120	0.897	0.164	0.663	-0.594	0.018
44853	C18orf21	0.882	0.124	0.585	0.070	0.663	-0.594	0.023
31598	C4orf14	0.952	0.115	0.631	0.030	0.663	-0.593	0.009
5709	SELK	0.915	0.097	0.607	0.105	0.663	-0.593	0.020
39185	RPL4	0.675	0.059	0.448	0.038	0.663	-0.592	0.005
6521	POTEE	1.558	0.067	1.034	0.112	0.663	-0.592	0.002
30180	SNX5	0.777	0.074	0.516	0.066	0.665	-0.589	0.010
27445	A_33_P3321923	1.066	0.068	0.709	0.084	0.665	-0.588	0.005
20808	NCRNA00174	0.378	0.007	0.252	0.064	0.666	-0.587	0.027
36545	MRPL32	1.108	0.098	0.737	0.067	0.666	-0.587	0.006
12928	CDK7	1.063	0.037	0.708	0.069	0.666	-0.586	0.001
33285	CREG1	1.172	0.084	0.781	0.058	0.666	-0.586	0.003
2575	ATP5O	1.302	0.090	0.868	0.146	0.667	-0.585	0.012
37147	LETMD1	0.895	0.098	0.597	0.076	0.667	-0.584	0.014
25071	GCSH	1.012	0.064	0.675	0.033	0.667	-0.584	0.001
29103	MRPL10	1.402	0.026	0.937	0.143	0.668	-0.582	0.005
31783	MRPL45	1.321	0.159	0.883	0.116	0.668	-0.582	0.018
13359	SLC41A3	1.284	0.068	0.859	0.088	0.669	-0.580	0.003
20118	CASKIN1	0.831	0.025	0.556	0.074	0.670	-0.578	0.004
19542	COX7C	0.790	0.061	0.529	0.084	0.670	-0.578	0.012
32620	LOC100134235	1.309	0.121	0.877	0.204	0.670	-0.578	0.034
8238	A_33_P3299436	0.795	0.089	0.533	0.071	0.670	-0.577	0.016
7238	FLJ45445	0.641	0.115	0.430	0.035	0.671	-0.577	0.038
42889	TUBA1C	1.247	0.162	0.837	0.153	0.671	-0.575	0.033
6044	TMEM97	1.579	0.128	1.060	0.037	0.671	-0.575	0.002
24221	ATP5H	1.545	0.133	1.038	0.086	0.672	-0.574	0.005
33769	COX7C	0.777	0.093	0.522	0.103	0.672	-0.573	0.034
12044	NMI	1.717	0.260	1.155	0.135	0.672	-0.573	0.029
42080	RPS2P32	0.448	0.028	0.301	0.019	0.673	-0.572	0.002
8893	TPM4	1.758	0.314	1.184	0.117	0.673	-0.571	0.041
34654	TBCA	0.840	0.117	0.566	0.077	0.673	-0.571	0.027
1898	TOM1L1	1.009	0.118	0.681	0.050	0.674	-0.568	0.011
31957	ZFAND1	0.842	0.139	0.568	0.023	0.675	-0.567	0.029
27685	GTF2F2	1.697	0.132	1.146	0.126	0.675	-0.567	0.006
8428	MTHFD2	1.216	0.098	0.821	0.067	0.675	-0.566	0.005

Table S1. Host mRNAs inhibited by Torin1

23541	PNRC1	1.144	0.080	0.773	0.095	0.676	-0.566	0.007
14793	MRPL45	1.365	0.150	0.923	0.089	0.676	-0.565	0.012
30919	OLA1	1.466	0.073	0.992	0.194	0.676	-0.564	0.017
23453	ZSWIM7	0.653	0.023	0.441	0.107	0.677	-0.564	0.029
41101	PCBP2	1.206	0.178	0.817	0.038	0.677	-0.562	0.021
2627	NMI	1.773	0.291	1.201	0.144	0.677	-0.562	0.038
28487	COX7C	0.780	0.071	0.529	0.093	0.678	-0.562	0.020
32728	EIF4A2	0.852	0.123	0.579	0.065	0.679	-0.558	0.027
10411	C18orf21	0.836	0.104	0.569	0.064	0.681	-0.554	0.019
8074	P704P	1.359	0.059	0.926	0.102	0.681	-0.554	0.003
33351	A_33_P3325011	0.232	0.041	0.158	0.015	0.682	-0.552	0.044
24606	COX7C	0.774	0.070	0.528	0.086	0.682	-0.552	0.018
28418	LETMD1	0.839	0.060	0.572	0.103	0.682	-0.551	0.018
20466	MRPL32	1.116	0.055	0.764	0.038	0.684	-0.548	0.001
28000	C10orf78	1.433	0.135	0.980	0.118	0.684	-0.548	0.012
18043	MRPL45	1.321	0.164	0.904	0.104	0.685	-0.547	0.021
35097	AK130930	0.487	0.029	0.333	0.019	0.685	-0.546	0.002
37646	ATP5L2	1.192	0.023	0.816	0.188	0.685	-0.546	0.027
35361	SETDB1	1.615	0.136	1.107	0.055	0.685	-0.545	0.004
14211	FAM73B	1.254	0.211	0.860	0.063	0.686	-0.544	0.036
28370	MRPL32	1.068	0.026	0.733	0.084	0.686	-0.544	0.003
33526	LDHB	1.282	0.188	0.881	0.049	0.687	-0.542	0.023
37214	MEAF6	1.091	0.068	0.749	0.046	0.687	-0.542	0.002
25021	AMD1	1.101	0.093	0.758	0.160	0.688	-0.540	0.033
34074	LOC100131262	1.570	0.129	1.080	0.080	0.688	-0.540	0.005
37575	SLC9A5	0.789	0.064	0.543	0.120	0.689	-0.538	0.035
34765	GYG1	1.654	0.064	1.140	0.104	0.689	-0.538	0.002
12824	MEAF6	1.031	0.103	0.712	0.046	0.690	-0.535	0.008
23103	A_33_P3253832	1.589	0.082	1.097	0.189	0.690	-0.535	0.014
1297	C18orf21	0.883	0.120	0.610	0.096	0.690	-0.534	0.037
4039	NFU1	1.780	0.179	1.229	0.062	0.690	-0.534	0.007
13375	CIRBP	1.367	0.035	0.944	0.055	0.691	-0.534	0.000
8886	EIF3L	0.800	0.134	0.553	0.033	0.691	-0.534	0.036
15383	MRPL45	1.334	0.146	0.922	0.094	0.691	-0.533	0.015
9138	CERCAM	1.555	0.117	1.075	0.191	0.691	-0.532	0.021
10831	RBM3	1.371	0.192	0.949	0.117	0.692	-0.530	0.031
42966	COX7C	0.767	0.070	0.532	0.082	0.693	-0.528	0.019
18904	C18orf21	0.863	0.118	0.598	0.091	0.694	-0.528	0.037
19909	COX7C	0.761	0.073	0.528	0.079	0.694	-0.527	0.020
27706	NPC2	1.693	0.024	1.175	0.028	0.694	-0.527	0.000
18549	COX7C	0.764	0.075	0.530	0.074	0.694	-0.527	0.019
1261	C18orf21	0.884	0.124	0.613	0.081	0.694	-0.527	0.034
14683	CBR4	1.266	0.032	0.879	0.143	0.694	-0.526	0.010
38627	PRTFDC1	1.090	0.142	0.758	0.138	0.695	-0.524	0.044
29674	DMTF1	0.430	0.032	0.299	0.021	0.696	-0.523	0.004
15109	MEAF6	1.028	0.072	0.716	0.039	0.697	-0.522	0.003
9838	SH3YL1	0.930	0.029	0.648	0.071	0.697	-0.522	0.003
28258	SLC25A37	0.822	0.090	0.573	0.049	0.697	-0.522	0.013
32201	NMI	1.731	0.283	1.207	0.150	0.697	-0.520	0.047
43910	COX7C	0.764	0.063	0.534	0.082	0.699	-0.516	0.018
40808	AVEN	1.440	0.159	1.007	0.183	0.699	-0.516	0.036
27093	MAGOHB	1.097	0.015	0.767	0.126	0.700	-0.515	0.011
31808	PDCD2	0.877	0.027	0.614	0.134	0.700	-0.514	0.029

Table S1. Host mRNAs inhibited by Torin1

3282	PRPF38A	1.080	0.065	0.757	0.067	0.701	-0.512	0.004
24807	R3HDM2	0.929	0.106	0.652	0.060	0.702	-0.511	0.017
27055	TOP1MT	1.425	0.084	1.001	0.103	0.702	-0.510	0.005
36923	SNRPE	0.961	0.012	0.675	0.122	0.703	-0.509	0.016
31754	MRPL45	1.315	0.183	0.924	0.088	0.703	-0.509	0.029
39320	CENPQ	1.453	0.160	1.022	0.175	0.703	-0.509	0.034
15392	RAB4A	0.828	0.135	0.583	0.059	0.704	-0.507	0.045
1389	RAN	1.419	0.168	0.999	0.101	0.704	-0.507	0.021
30433	C18orf21	0.846	0.112	0.596	0.095	0.704	-0.506	0.042
27000	MRPL45	1.328	0.181	0.935	0.097	0.704	-0.506	0.030
4543	CHP	1.199	0.132	0.845	0.045	0.704	-0.506	0.012
33699	RSL24D1	1.409	0.045	0.992	0.039	0.704	-0.506	0.000
13926	UBE2V1	1.073	0.041	0.758	0.015	0.706	-0.502	0.000
32034	AVEN	1.360	0.081	0.961	0.191	0.707	-0.500	0.029

Table S2. Changes in HCMV mRNA translation with Torin1

Gene	NT TE	NT STDEV	Torin1 TE	Torin STDEV	Torin1/NT TE	pvalue
RL1	0.541	0.133	0.562	0.171	1.039	0.8746
UL4	0.356	0.055	0.410	0.080	1.151	0.3927
UL5	0.381	0.046	0.433	0.067	1.137	0.3314
UL6	0.658	0.044	0.678	0.011	1.031	0.4833
UL10	0.902	0.167	0.805	0.078	0.892	0.4121
UL11	0.810	0.057	0.746	0.326	0.922	0.7570
UL13	1.144	0.126	1.179	0.215	1.030	0.8221
UL14	1.413	0.129	1.500	0.240	1.061	0.6105
UL15A	2.160	0.275	2.293	0.349	1.061	0.6327
UL16	0.848	0.112	0.861	0.153	1.015	0.9118
UL17	0.671	0.129	0.411	0.166	0.613	0.0998
UL18	0.441	0.067	0.464	0.062	1.052	0.6832
UL19	0.705	0.043	0.684	0.068	0.971	0.6860
UL21A	0.739	0.022	0.773	0.067	1.046	0.4552
UL23	0.696	0.049	0.733	0.067	1.053	0.4878
UL24	0.743	0.082	0.685	0.031	0.921	0.3132
UL25	1.065	0.018	1.340	0.125	1.259	0.0195
UL26	0.982	0.217	0.843	0.015	0.858	0.3307
UL27	0.758	0.279	0.642	0.276	0.847	0.6365
UL29	0.664	0.089	0.820	0.237	1.234	0.3470
UL30	1.189	0.313	1.157	0.084	0.973	0.8742
UL31	0.878	0.133	1.072	0.332	1.222	0.3997
UL32	1.063	0.622	0.935	0.136	0.880	0.7457
UL33	1.649	0.363	1.592	0.203	0.965	0.8229
UL34	1.168	0.019	1.552	0.073	1.330	0.0009
UL35	0.867	0.131	1.108	0.105	1.277	0.0681
UL37	0.671	0.061	0.689	0.038	1.028	0.6769
UL38	0.917	0.052	1.046	0.122	1.141	0.1672
UL40	1.152	0.049	1.049	0.078	0.910	0.1222
UL41A	1.015	0.051	1.151	0.453	1.134	0.6324
UL42	1.222	0.104	1.217	0.215	0.996	0.9719
UL43	0.976	0.157	0.995	0.343	1.019	0.9346
UL44	1.438	0.309	1.345	0.236	0.935	0.6993
UL45	0.880	0.087	0.973	0.123	1.106	0.3429
UL46	0.814	0.323	0.841	0.071	1.033	0.8935
UL47	0.652	0.120	0.771	0.246	1.182	0.4950
UL48	0.660	0.006	0.975	0.341	1.478	0.1845
UL48A	1.237	0.156	1.209	0.090	0.977	0.8018
UL49	0.813	0.059	0.767	0.119	0.943	0.5784
UL50	0.991	0.347	0.904	0.154	0.912	0.7112

Table S2. Changes in HCMV mRNA translation with Torin1

UL51	0.811	0.148	0.837	0.038	1.032	0.7844
UL52	1.021	0.147	1.021	0.271	1.000	0.9984
UL53	1.837	0.400	1.455	0.328	0.792	0.2704
UL57	0.439	0.046	0.480	0.147	1.095	0.6635
UL69	0.704	0.014	0.623	0.133	0.886	0.3550
UL71	1.211	0.021	1.342	0.081	1.109	0.0517
UL72	0.515	0.049	0.587	0.103	1.139	0.3390
UL73	1.166	0.119	1.112	0.332	0.954	0.8058
UL74A	1.094	0.074	1.089	0.300	0.996	0.9794
UL76	0.826	0.085	0.824	0.332	0.998	0.9929
UL78	1.454	0.195	1.875	0.357	1.290	0.1472
UL80	1.656	0.168	2.062	0.783	1.245	0.4298
UL80.5	1.648	0.159	1.736	0.238	1.256	0.4086
UL82	0.924	0.109	1.130	0.440	1.222	0.4762
UL83	0.821	0.071	1.066	0.139	1.298	0.0532
UL85	0.782	0.103	0.853	0.214	1.090	0.6333
UL86	1.098	0.274	1.281	0.411	1.166	0.5571
UL87	0.607	0.061	0.597	0.156	0.982	0.9178
UL89	0.673	0.083	0.689	0.240	1.023	0.9198
UL91	0.505	0.206	0.464	0.073	0.920	0.7649
UL92	1.016	0.070	0.953	0.242	0.939	0.6913
UL93	0.625	0.106	0.747	0.332	1.195	0.5780
UL94	0.950	0.073	1.098	0.382	1.157	0.5444
UL95	0.688	0.077	0.845	0.246	1.228	0.3519
UL96	1.318	0.468	1.299	0.313	0.986	0.9570
UL97	0.578	0.080	0.664	0.265	1.149	0.6178
UL98	0.941	0.255	1.314	0.291	1.395	0.1709
UL99	0.978	0.108	1.220	0.078	1.247	0.0344
UL100	0.805	0.131	0.732	0.067	0.909	0.4362
UL102	0.929	0.048	1.022	0.092	1.099	0.1982
UL103	0.665	0.121	0.732	0.035	1.101	0.4101
UL105	1.001	0.076	0.987	0.290	0.986	0.9391
UL111A	0.520	0.041	0.501	0.081	0.962	0.7248
UL112	0.728	0.107	0.881	0.307	1.211	0.4594
UL115	0.496	0.136	0.448	0.037	0.903	0.5868
UL119	0.630	0.367	0.489	0.133	0.776	0.5645
UL121	0.111	0.021	0.137	0.024	1.236	0.2253
UL124	0.740	0.214	0.652	0.204	0.881	0.6329
IRS1	0.593	0.135	0.664	0.084	1.120	0.4831
US1	0.834	0.107	1.280	0.200	1.535	0.0269
US7	0.182	0.049	0.224	0.049	1.228	0.3581
US9	0.853	0.108	0.692	0.050	0.812	0.0797

Table S2. Changes in HCMV mRNA translation with Torin1

US12	0.981	0.101	0.804	0.223	0.820	0.2797
US13	0.821	0.337	0.634	0.129	0.772	0.4196
US14	0.666	0.090	0.670	0.115	1.007	0.9577
US15	0.642	0.162	0.738	0.157	1.150	0.4991
US16	0.514	0.081	0.587	0.227	1.141	0.6286
US17	0.722	0.063	0.799	0.169	1.106	0.5020
US18	1.062	0.175	0.765	0.060	0.720	0.0499
US19	0.665	0.219	0.593	0.025	0.892	0.6011
US20	0.501	0.042	0.496	0.041	0.990	0.8875
US21	0.565	0.078	0.604	0.080	1.069	0.5797
US24	0.504	0.045	0.585	0.067	1.162	0.1540
US27	0.668	0.064	0.766	0.089	1.147	0.1957
US28	0.907	0.118	1.051	0.051	1.159	0.1245
US29	1.384	0.378	1.169	0.180	0.844	0.4239
US30	1.714	1.025	1.260	0.284	0.735	0.5004
US31	0.966	0.092	0.988	0.160	1.022	0.8485
US32	1.250	0.097	1.282	0.208	1.026	0.8208
US34	0.790	0.074	0.863	0.053	1.092	0.2379
US34A	0.953	0.060	1.035	0.052	1.086	0.1472
TRS1	0.669	0.102	0.748	0.241	1.118	0.6286